

1 まえがき

弾性半無限領域の平面波動伝播挙動は理論的には良く知られており、たとえば調和 SV 波に対する応答倍率あるいは反射係数はいろいろの形で示されている。均質等方弾性体を考えたときの地盤の地震時挙動において最も重要な自由面の挙動もこの意味では解明されてい。しかしながら調和波がない入射波が傾斜した地表面に入射する場合のように、臨界角を越えた SV 波入射に対する応答波形については十分に解明がなされていないようと思われる。

ここではこのよを場合に対する応答を、動光弹性実験結果とともに理論解および差分による波動方程式の数値解の関係を明らかにする。特に調和波に対する理論解¹⁾、2. で問題とするような非調和入射波の代表として衝撃的なパルス波形の応答解析に用いる場合の問題点について検討する。

2 実験結果と差分解析結果

写真-1 に臨界角 $\gamma_0 = 34^\circ$ である模型板の直線自由縁に対して、入射角 $\delta = 36.4^\circ$ で図-2 に示す形の平面 SV 入射パルスが入射した場合の、動光弹性実験による等色線縞模様の一連の応答を示す。等色線縞は等主応力線と同じ意味を持つから、以下では便宜上この線上の直線と最大せん断応力 (T_{max}) と考える。

写真-1 には実験上の制約から先行する平面綫波による反射 SV 波面も一部同時に現われているが、視野内ご右上りの直線的縞模様が入射 SV 波面であり、この右側の右下の直線的縞模様が反射 SV 波面である。これら 2 つの波面に狭まれ、境界付近に見える同心円状の縞模様は臨界角を越えた入射により生じた表面波の存在を示す。

図-1 は図-2 に示した SV 入射パルスと等価な変位パルスを三角形の解析領域の斜辺 BC に入力として与えた場合の差分解析による 80 μsec での等最大せん断応力線図である。この場合辺 AB, AC は共に自由縁としてあり、入射角 δ はそれらの辺に対して、 53.6° および 36.4° である。

AC 辺に対する入射、反射波面およびそれらの間に存在する同心円状の模様は写真-1 のそれと極めて良く一致している。ただし A 点近傍の模様は伝播速度および模様の形から、AC 自由辺と伝播する表面波が、C 点に入力変位を与えてからに発生したものである。

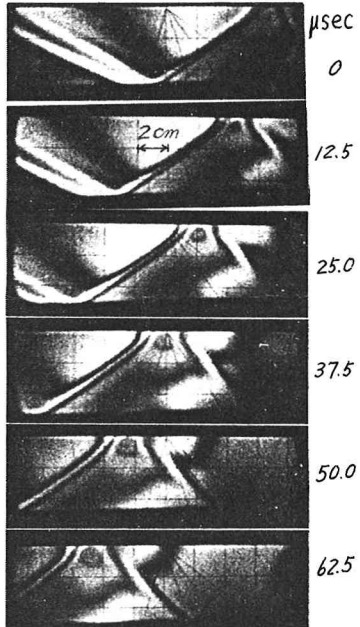
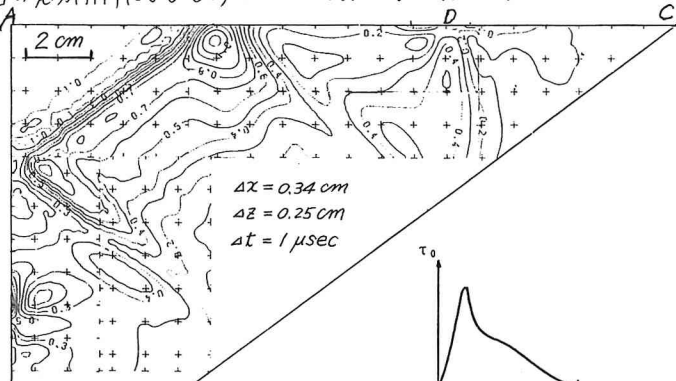
写真-1 等色線縞模様 $\gamma = 36.4^\circ$ 

Fig. 1 Equi-maximum shearing stress line

Fig. 2 Incident pulse

3. 応答

図-3は調和波に対する理論解からフーリエ逆変換により、図-2の入射パルスに対する自由表面の時刻歴応答を求めた結果である。この場合後続のDは入射パルス長の約9倍としている。この図には入射パルスに対するピーカー値と無次元化した T_{max} と z 軸方向の速度成分 v_z を示したが、z 方向の速度成分分布は T_{max} に比例し形は T_{max} と同じである。

$t=0$ は図中に示した原点に入射波が到達する時間であるが、 T_{max} の応答はこれより先行している。

理論解では一般に自由境界の速度成分 v_z ($\propto T_{max}$)、 v_z に対して円振動数 ω の応答 \bar{v}_z 、 \bar{v}_z は P を showness として

$$\bar{v}_z = \bar{v}_z^* \exp[i\omega(pz - t - \phi_1/\omega)],$$

$$\bar{v}_z = \bar{v}_z^* \exp[i\omega(pz - t - \phi_2/\omega)]$$

と書ける。こゝに \bar{v}_z^* 、 \bar{v}_z^* は振幅の絶対値であり、 ϕ_1 、 ϕ_2 は偏角である。

入射角が臨界角を越えると $\phi_1 < 0$ 、 $\phi_2 > 0$ となり、 \bar{v}_z の位相は進み、 \bar{v}_z の位相は遅れる。このため図-3のように v_z は入射パルス形とはほぼ保たまゝ位相が遅れ、 v_z ($\propto T_{max}$) は位相が進みしかも応答パルス形は入射パルス形に比較して著しく変形している。

図-4は図-1に示した差分解析結果の自由縁 ACD 上の T_{max} と v_z の分布を示す。前述したように C 点から伝播する表面波のために、 $d = 12$ cm 付近では正しい応答を示さないが、横軸を AC に沿う波面の伝播速度 (1840 m/sec) で対応させて時間軸として見るととき、 T_{max} 、 v_z とともに図-3と同様の特徴を持つ応答を示し、各ピークの応答値も理論値にほぼ等しい。しか

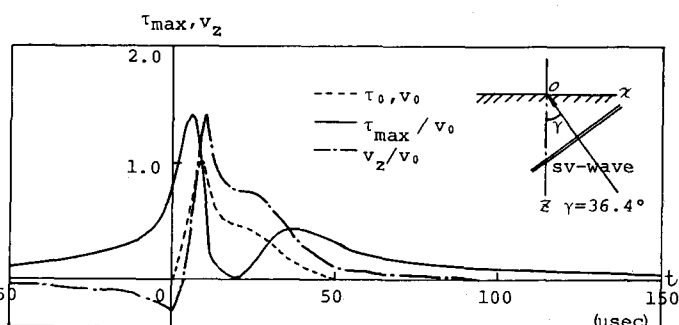


Fig. 3 Theoretical responses of τ_{max} and v_z to SV-wave incidence on free surface ($\gamma=36.4^\circ$)

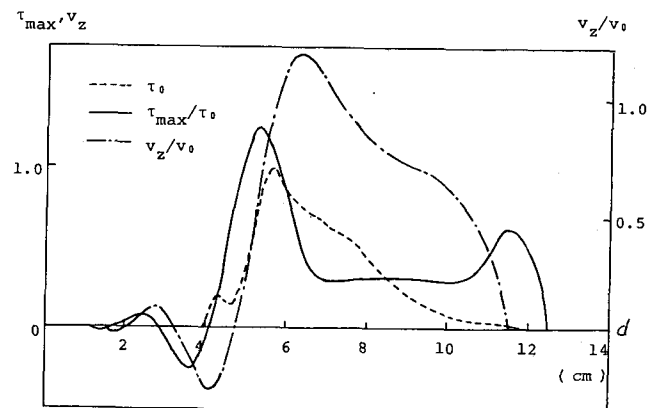


Fig. 4 Calculated responses of τ_{max} and v_z on free surface ($\gamma=36.4^\circ$) $t=80$ usec

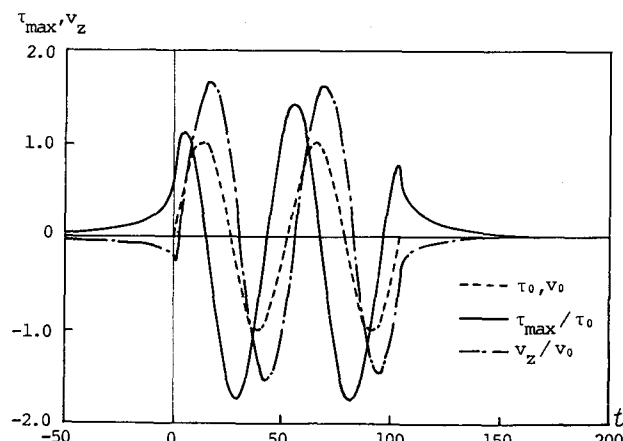


Fig. 5 Theoretical responses of τ_{max} and v_z on free surfaces ($\gamma=36.4^\circ$)

と異なり、振動数領域の限界を示すと思われる。図-5は破綻で示す正弦波の入射パルスを与えたときの T_{max} と v_z の理論応答である。この場合も位相の進みと遅れは前述したように現われているが、応答波形の乱れは最初と最後の部分でのみ著しい。したがってたゞ云はば地震波形のようないずれ波に対する見かけ上乱れは無視されることは考えられる。

1) たとえば K. Aki & P. Richards, "Quantitative Seismology," Vol. 1, pp. 123~192, 1980.